

## 波・流れ共存場における砂連の形状

東北大学工学部 学生員 佐藤 功  
東北大大学院 学生員 田中 仁  
東北大学工学部 正会員 首藤伸夫

### 1.はじめに

波のみ、あるいは流れのみの場における砂連については、多くの研究が発表されているが、波・流れ共存場における砂連については、幾つかの研究を数えるのみである。本研究においては、波・流れ共存場において形成される定常的な砂連の実験を行ない、砂連のスケール、砂の舞い上がり高さ等について考察した。

### 2. 実験装置及び実験方法

水路幅30cm、深さ30cm、長さ7mで、側壁はガラス張りになっており、側面から砂連の形状を観察することができる。水路の下流端にフラップ式造波機を取り付け、水深11~17cm、流速0~30cm/secの流れに、周期0.83、0.97、1.18、1.25sec、波高3~7cm程度の波を逆行させた。砂の諸元は、 $d_{50} = 0.40\text{mm}$ 、均等係数1.8、密度2.72g/cm<sup>3</sup>であり、これを水路上流部6m間に、厚さ4cmで敷いた。実験は、波の反射率は12%以下におさえた。平均的なスケールの砂連の波高が時間的に変化しなくなつた時をもって、定常状態に達したと判断した。また、水路上流端部の砂止めから生ずる擾乱によて発生した河床変形、及び部分重複的な効果が大きく影響して発生砂連はデータ整理の際に除外した。

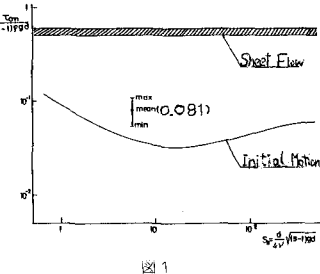


図1

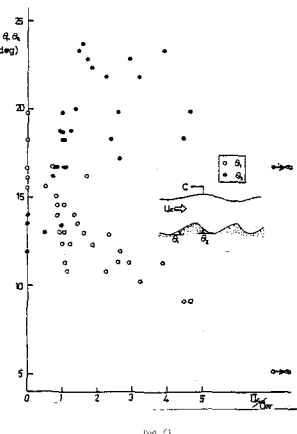


図2

### 3. 結果と考察

#### (1) 砂移動限界とシートフロー発生限界

実験範囲を図1に示す。ここで、底面摩擦は著者らの理論により、相当粗度としては中央粒径を用いた。実験条件下、確かに砂移動限界を越えており、砂連が消滅する領域に入っていない。

#### (2) 砂連の非対称性と渦の発生

砂連の形状に関する従来の研究によれば、定常流においては、上流側斜面はゆるく、下流側は水中安息角に等しくなると言われる。また、波動場においては、ほぼ対称的な形態を有するとされている。そこで、其時の砂連の対称性を調べるために、 $\alpha_1$ 、 $\alpha_2$ 、 $\alpha_3$ と $\beta_1$ との関係を描いた(図2、図3)。これにて、 $\alpha_1$ :定常流成分の水面平均流速、 $\alpha_2$ :振動流成分の底面水粒子速度の振幅である。 $\beta_1$ は流れと波の相対的強度を表している。

$\alpha_1$ は $\beta_1$ が0~1.5の範囲では増加するが、1.5以上になると比較的安定する。そして、 $\beta_1 = \infty$ (流れのみ)で $\alpha_1 = 0.78$ になる。また、 $\beta_1$ 及び $\alpha_2$ は、 $\beta_1$ の増加に伴い、 $\alpha_1$ を減少し、 $\alpha_2$ を増大し、上記の $\alpha_1$ の変化に応じた変化を示す。

今回の実験では、波のみのケースにおいて、渦は岸側(以下、波の進行方向を岸側、逆方向を沖側と呼ぶ)にのみ発生し、 $\alpha_1$ は、 $1/2$ より小さく、 $0.1$ となる。定常流成分が増すにつれ、渦は両

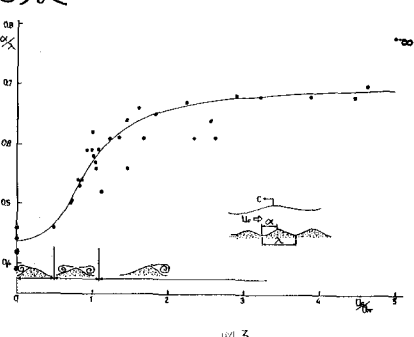


図3

余幅に発生する様になる。更に砂丘が大きくなると、渦は沖側にのみ発生する様になり、沖側の余幅が大きくなる。この傾向を実際の砂連形状で示したのが図4である。図において、周期、波高、水深は、ほぼ一定に保たれており、 $\alpha$ のみが変化する。

渦が砂連の側面に発生する範囲は、図3K示す様に $\alpha_{\text{合}}^*$ が0.5~1.1であるが、これが先の $\alpha_{\text{合}}$ の増加と共に $\alpha$ が増加する領域に入っている時は、興味深いところである。

### (3) 砂の舞い上がり高さ

砂の舞い上がり高さについて検討したのが、図5である。図中で、 $\Delta H$ : 砂の舞い上がり高さ、 $\theta$ : ( $S_0 - S_1$ ) $\theta$ 、 $\alpha$ : 著者ら<sup>2)</sup>の提案した底面付近の定常流成分にかかる係数である。 $\Delta H$ は、モータードライスマレ、及び目視により求め、沖側に渦が発生する場合のみ示した。パラメタは、砂連底部から放出される砂粒子のエネルギー保有率を考慮して定めた。

図中の数字は、 $\tan \theta$ を表しているが、この値の大きいもの程、 $\Delta H$ が大きくなる傾向はあるものの、データのはらつきが大きく、確かな事は言えない様である。

### (4) 砂連スケールの無次元表示

本間ら<sup>3)</sup>は、波によって形成される砂連のスケールを、 $d_{\text{合}}^* \sim d_{\text{合}}$ 、 $d_{\text{合}}^* \sim \frac{d_{\text{合}}}{H}$ で表わした。ここに、 $d_{\text{合}}$ : ポテンシャル理論で与えられる底面粒子の移動距離である。著者ら<sup>2)</sup>は、かつて、このパラメタを共存時に拡張して検討した。即ち、 $d_{\text{合}}^* \sim d_{\text{合}}$ 、 $d_{\text{合}}^* \sim \frac{d_{\text{合}}}{H}$ を用いた。ここに、 $d_{\text{合}}$ : 底面付近の流速成分を考慮した水粒子移動距離である。図6、図7にその結果を示す。図中の直線は、本間らの提案した実験式を表す。

両図で、本実験の $\alpha$ のみを示す実と共存時の $\alpha$ がほぼ一致している。よって、従来の波のみの場合における $d_{\text{合}}$ 、 $d_{\text{合}}^*$ も、共存場に拡張した $d_{\text{合}}$ 、 $d_{\text{合}}^*$ に置き換えることにより、砂連のスケールを無次元化することができる。なお、 $\alpha_{\text{合}}^*$ ~3のケースについては、 $d_{\text{合}}^*$ の計算が不能になるので、今後さらに、適切な無次元パラメタの検討を進めていく必要がある。

### 4. おわりに

今回の実験では、実験装置の制約から条件が限られたものになってしまった。今後、実験装置を改良し、より広範囲に渡る実験を進めて行きたい。

### «謝辞»

この研究には、文部省科学研究費(代表者: 東工大 日野謙)によつて行なわれたものであり、ここで謝意を表する。

### «参考文献»

- 1) 田中、首藤. 第27回海講論文集(1980)
- 2) 本間、堀川、鹿島. 第11回海講論文集(1964)
- 3) 田中、首藤. 第36回海講論文集(1981)

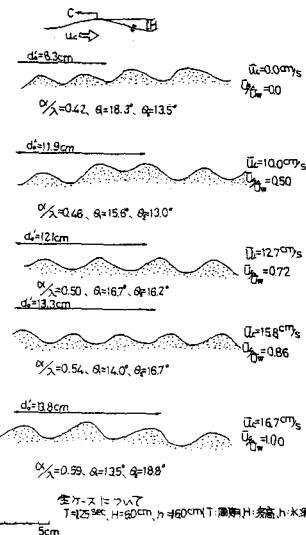


図4

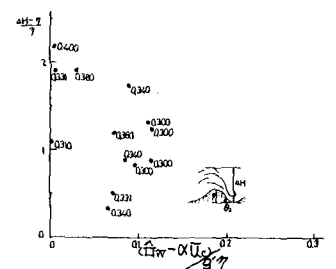


図5

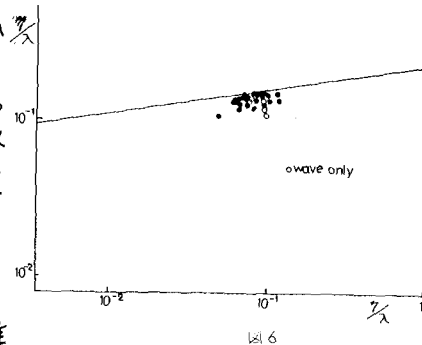


図6

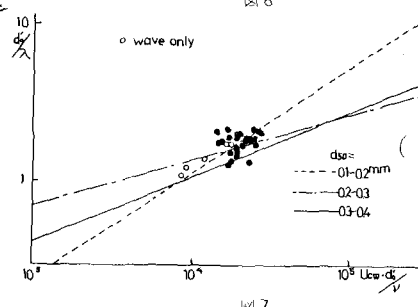


図7